

**ИССЛЕДОВАНИЕ КОММУТАЦИОННОГО ПРОЦЕССА  
В ОБМОТКЕ ЭЛЕКТРИЧЕСКОЙ МАШИНЫ, СНАБЖЕННОЙ  
ПОЛУПРОВОДНИКОВЫМ КОЛЛЕКТОРОМ**

Э. Ф. ОБЕРГАН, А. И. СКОРОСПЕШКИН

(Рекомендовано семинаром кафедр электрических машин и общей электротехники)

Одной из разновидностей коммутирующих устройств в электрических машинах с полупроводниковой коммутацией тока в обмотках является полупроводниковый коллектор, выполненный на тиристорах.

При построении схемы полупроводникового коллектора с питанием от источника постоянного тока для коммутации тока с одного тиристора на другой применяются коммутирующие конденсаторы, которые обусловливают специфиичность процесса коммутации тока также в секциях обмотки.

В настоящей статье рассматривается зависимость перенапряжения на коммутируемой секции от параметров обмотки и величины коммутирующего конденсатора.

На рис. 1 представлена одна секция  $W_s$  обмотки электрической машины и часть полупроводникового коллектора, участвующая в коммутации тока в этой секции в произвольно взятый момент времени.

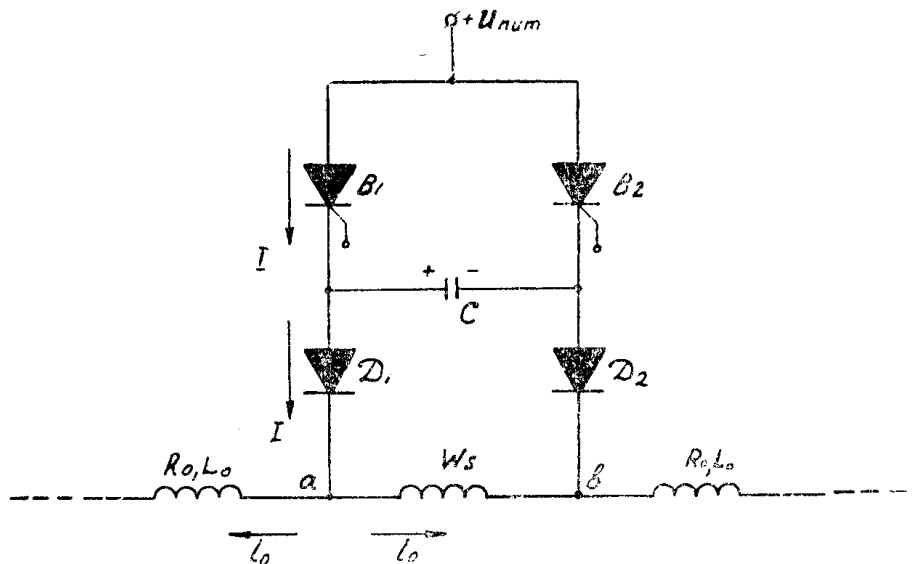


Рис. 1. Электрическая схема ячейки полупроводникового коллектора, связанной секцией обмотки.

Введя обозначения:

$t_3$  — время замкнутого состояния секции  $W_s$ ,

$t_p$  — время разомкнутого состояния секции  $W_s$ , рассмотрим процесс коммутации последовательно в каждом интервале времени.

В начальный момент времени  $t_3 = 0$  обмотка подключена к шине «+» источника питания в точке  $a$  через открытый тиристор  $B_1$  и диод  $D_1$ .

При этом по параллельной ветви обмотки, включающей в себя секцию  $W_s$  и обладающей параметрами  $R_0, L_0$ , протекает ток  $i_0$ , а напряжение на обкладках конденсатора  $C$  равно падению напряжения на секции  $W_s$

$$U_c = i_0 \cdot r_s, \quad (1)$$

где  $r_s$  — омическое сопротивление секции  $W_s$ .

Падением напряжения на диоде  $D_1$  пренебрегаем.

При подаче управляющего импульса на тиристор  $B_2$  ток в секции  $W_s$  изменяется по закону

$$i_{W_s}(t) = i_0 \cdot e^{-n^2 \frac{t}{\tau_0}}, \quad (2)$$

где  $i_{W_s}(t)$  — ток в секции  $W_s$  в интервал времени  $t_3$ ,

$n$  — число пар выводов обмотки,

$\tau_0 = \frac{L_0}{R_0}$  — постоянная времени параллельной ветви обмотки,

$R_0$  и  $L_0$  — активное сопротивление и индуктивность параллельной ветви обмотки.

Одновременно с уменьшением тока в секции  $W_s$  происходит процесс коммутации тока с тиристора  $B_1$  на тиристор  $B_2$ . Этот процесс обусловлен разрядом конденсатора  $C$  по контуру  $C-B_1-B_2$ .

С момента запирания тиристора  $B_1$  начинается интервал времени  $t_p$ . По окончании переходных процессов при  $t_p = \infty$  обмотка оказывается подключенной к шине «+» источника питания в точке  $b$  через открытый тиристор  $B_2$  и диод  $D_2$ .

Поскольку для обеспечения надежного запирания тиристора  $B_1$  время разряда конденсатора  $C$  должно быть несколько большим времени восстановления управляющих свойств тиристора  $B_1$ , то в момент запирания последнего напряжение на обкладках конденсатора будет иметь некоторое отличное от нуля значение.

Ток  $i_{W_s}(t_3)$  в секции  $W_s$  в общем случае может быть также отличен от нуля в момент запирания тиристоров  $B_1$ , т. е. в начале интервала времени  $t_p$ .

Однако с целью упрощения математических выкладок с достаточной для практических целей точностью примем в качестве начальных условий интервала времени  $t_p$  значения  $U_c = 0$  и  $i_{W_s} = 0$ .

Тогда значения  $U_c(t_p)$  и  $i_{W_s}(t_p)$  в интервале времени  $t_p$  могут быть определены по формулам:

$$U_c(t_p) = i_{W_s}(t_p) \cdot Z_2(t_p), \quad (3)$$

$$i_{W_s}(t_p) = i'_0 \cdot \frac{Z_1(t_p)}{Z_1(t_p) + Z_2(t_p)}. \quad (4)$$

В этих формулах

$Z_1(t_p)$  и  $Z_2(t_p)$  — полные сопротивления в переходном режиме части параллельной ветви обмотки без коммутируемой секции  $W_s$  и контура, связанного с секцией  $W_s$ .

$i'_0 = \frac{U}{R_0 - r_s}$  — установившееся значение постоянного тока в части параллельной ветви обмотки без коммутируемой секции  $W_s$ .

При подстановке (4) в (3) можем найти отношение напряжения на конденсаторе  $C$  в интервале времени  $t_p$  к напряжению питания обмотки.

$$\frac{U_c(t_p)}{U} = \frac{1}{R_0 - r_s} \cdot \frac{Z_1(t_p) \cdot Z_2(t_p)}{Z_1(t_p) + Z_2(t_p)}. \quad (5)$$

Определив по схеме (рис. 1) выражения для сопротивлений  $Z_1(t_p)$  и  $Z_2(t_p)$  и после ряда преобразований с (5), получим:

$$\frac{U_c(t_p)}{U} = \frac{1}{(n-1) \left[ 1 - e^{-n \frac{t_p}{\tau_0}} \right] + \left( 1 - e^{-\frac{n}{n-1} \cdot \frac{t_p}{\tau_0}} \right) + R_0 \cdot C \cdot \frac{n-1}{n} \cdot \frac{1}{t_p}}. \quad (6)$$

Взяв производную от (6) и приравняв ее числитель нулю, найдем время, по истечении которого отношение  $\frac{U_c}{U}$  будет максимальным.

Числитель производной

$$(n-1) \left[ \frac{1}{\tau_0} \cdot n \cdot e^{-n \frac{t_p}{\tau_0}} \right] + \frac{n}{n-1} \cdot \frac{1}{\tau_0} \cdot e^{-\frac{n}{n-1} \cdot \frac{t_p}{\tau_0}} - R_0 \cdot C \cdot \frac{n-1}{n} \cdot \frac{1}{t_p^2} = 0.$$

Анализ уравнения (6) показывает, что время  $t_{pm}$ , по истечении которого отношение  $\frac{U_c}{U}$  достигает максимума, имеет порядок  $10^{-7}\text{--}10^{-4}$  сек.

При таком значении  $t_{pm}$

$$e^{-n \frac{t_{pm}}{\tau_0}} \approx e^{-\frac{n}{n-1} \cdot \frac{t_{pm}}{\tau_0}} \approx 1, \quad (7)$$

тогда

$$(n-1) \frac{n}{\tau_0} + \frac{n}{n-1} \cdot \frac{1}{\tau_0} - R_0 \frac{n-1}{n} \cdot C \frac{1}{t_{pm}} = 0,$$

откуда

$$t_{pm} = \frac{n-1}{n} \cdot \sqrt{L_0 \cdot C} \cdot \sqrt{\frac{1}{n^2 - 2(n-1)}}. \quad (8)$$

Подставляя значение  $t_{pm}$  из (9) в (6) и принимая во внимание условие (7), получим

$$\left( \frac{U_c}{U} \right)_{\max} = \frac{1}{R_0} \cdot \sqrt{\frac{L_0}{C} \cdot \frac{1}{n^2 - 2(n-1)}}. \quad (9)$$

Зависимость  $\left( \frac{U_c}{U} \right)_{\max} = f(C)$  при различных  $n$  и произвольно выбранных  $L_0 = 0,2$  гн,  $R_0 = 2$  ома показана на рис. 2.

Пользуясь уравнением (9), можно при любых параметрах и числе выводов обмотки определить значение емкости конденсатора, обеспечивающее допустимые для выбранных элементов полупроводникового коллектора и конструкции обмотки перенапряжения на коммутируемой секции.

Следует помнить в то же время, что поскольку этот же конденсатор является коммутирующим для тиристоров, значение емкости его,

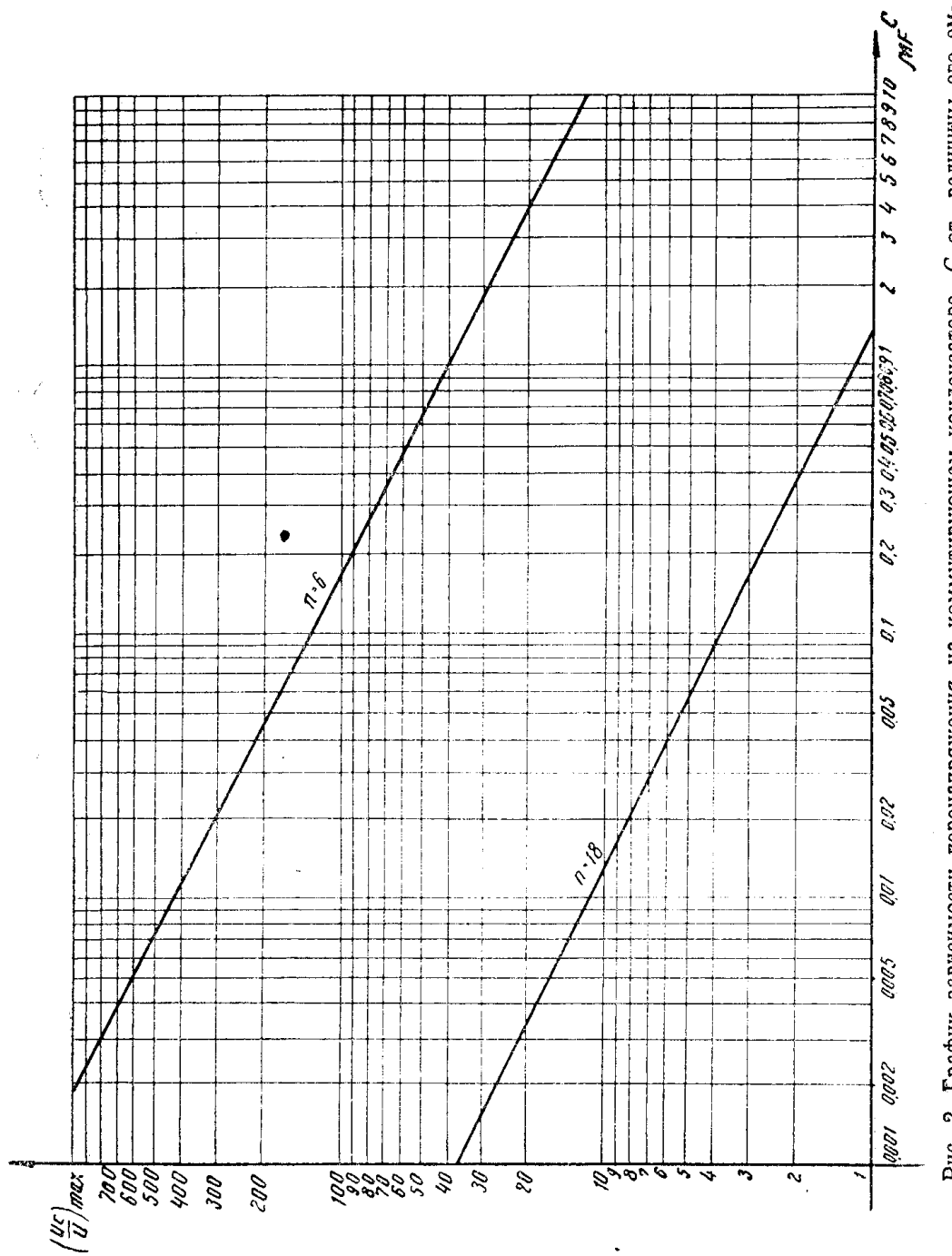


Рис. 2. График зависимости перенапряжения на коммутирующем конденсаторе  $C$  от величины его емкости.

рассчитанное по (9), должно удовлетворять также условию

$$t_{\text{разр}} > t_{\text{в}}, \quad (10)$$

где  $t_{\text{разр}}$  — время разряда конденсатора  $C$  по контуру

$$C - B_1 - B_2,$$

$t_{\text{в}}$  — время восстановления управляющих свойств тиристора, являющееся паспортным параметром тиристора.

Выполнение этого условия проверяется расчетом, для чего необходимо предварительно определить по (6) начальное напряжение на конденсаторе  $U_{ch}$  в момент времени  $t_3 = 0$ . При этом величина времени  $t_p$ , подставляемая в (6), равна

$$t_p = \frac{1}{f} - t_{\text{в}},$$

где  $f$  — частота управляющих импульсов, подаваемых на полупроводниковый коллектор.

Задавшись отношением  $\frac{U_c}{U_{ch}}$  напряжения на конденсаторе в момент запирания тиристора  $B_1$  к начальному напряжению и зная прямое и обратное сопротивления  $r_{v\text{пр}}$  и  $r_{v\text{обр}}$  тиристоров  $B_2$  и  $B_1$  в открытом состоянии, можно определить значение емкости конденсатора  $C$ , обеспечивающее выполнение условия (10)

$$t_{\text{разр}} = -(r_{v\text{пр}} + r_{v\text{обр}}) \cdot C \ln \frac{U_c}{U_{ch}} > t_{\text{в}},$$

откуда

$$C > - \frac{t_{\text{в}}}{\ln \frac{U_c}{U_{ch}} \cdot (r_{v\text{пр}} + r_{v\text{обр}})} . \quad (11)$$

Если, к примеру, к концу времени  $t_{\text{в}}$ , т. е. к моменту запирания тиристора  $B_1$ , обратное напряжение, приложенное к нему, должно быть не меньше 1% от  $U_{ch}$ , то

$$\ln \frac{U_c}{U_{ch}} = \ln 0,01 = -2,3.$$

В этом случае

$$C > \frac{t_{\text{в}}}{2,3(r_{v\text{пр}} + r_{v\text{обр}})} .$$

В каждом конкретном случае для выбранных схемы обмотки и типа элементов полупроводникового коллектора величины емкости конденсатора  $C$  определяются по уравнению (9) и неравенству (11) и выбирается большее значение.

## Выводы

Приведенные в настоящей статье аналитические зависимости, характеризующие процесс коммутации тока в обмотке электрической машины, снабженной полупроводниковым коллектором, показывают зависимость перенапряжения на коммутируемых секциях обмотки от параметров обмотки и элементов полупроводникового коллектора.

Полученные расчетные формулы позволяют при проектировании электрических машин с полупроводниковой коммутацией тока в обмот-

ках обеспечивать оптимальные условия коммутации путем согласования параметров электрической машины с параметрами элементов полупроводникового коллектора.

#### ЛИТЕРАТУРА

1. Ш. И. Лутидзе. Полупроводниковая коммутация электрических машин. Сб. Режимы работы электросистем и регулирование синхронных машин, Издательство «Наука», 1964.

2. Ш. И. Лутидзе. Управления и схемы электрических машин с управляемым полупроводниковым коммутатором. Известия АН СССР, № 6, 1964.

---